



بررسی پرموتر ژن S-Like RNase در برنج تراریخت

رودابه راوش^{*}، بهروز شیران^۲، اسماعیل ابراهیمی^۳، سعد الله هوشمند^۴، رودی دلفروس^۵

^۱ استادیار بخش اصلاح نباتات و بیوتکنولوژی، دانشکده کشاورزی، دانشگاه شهرکرد، شهرکرد، ایران.

^۲ استاد بخش اصلاح نباتات و بیوتکنولوژی، دانشکده کشاورزی، دانشگاه شهرکرد، شهرکرد، ایران.

^۳ دانشیار بخش بیوتکنولوژی، دانشکده کشاورزی، دانشگاه شیراز، شیراز، ایران.

^۴ استاد موسسه تحقیقات CSIRO، کنبرا، استرالیا.

تاریخ دریافت: ۱۳۹۵/۱۰/۰۷، تاریخ پذیرش: ۱۳۹۶/۰۴/۲۳

چکیده

گروه ژن‌های RNase در فرایندهای حیاتی سلولی همچون همانندسازی DNA، رونویسی، پیرایش و کنترل ترجمه، شرکت می‌کنند. S-Like RNase (S-Like RNase) ریبونوکلئازها، همولوگ S ریبونوکلئاز (S-Like RNase)‌ها هستند، ولی آنها در ناسازگاری گیاه مشارکتی ندارند. در گیاهان دو لپهای S-Like RNase ا نقش مهمی در انتقال مجدد فسفات طی فرایند پیری دارند، همچنین آنها در فرایندهای کمبود فسفاتمعدنی، دفاع سلولی و زخم‌های فیزیکی القا می‌شوند. اثرات RNase‌ها در پاسخ به خشکی می‌تواند به دلیل اثرات متقابل بین چندین فعالیت مختلف آنها باشد. در این تحقیق پرموتر ژن S-Like RNase در بالادست ژن بتا گلوکرونیداز (GUS) قرار داده شد سپس سازه مورد نظر توسط الکتروپوریشن به آگروباکتریوم تومفاسینس، سویه 4404 LBA انتقال داده شد و سپس به کمک هم کشتی، گیاه تراریخت ایجاد شد. با استفاده از روش رنگ‌آمیزی هیستوشیمیائی فعالیت پرموتر ژن S-Like RNase در بافت ریشه، برگ و بساک برنج بررسی گردید. نتایج نشان داد که پرموتر این ژن دارای فعالیت بالایی در بساک برنج می‌باشد در حالیکه میزان فعالیت آن در برگ کم و در ریشه نیز ناقیز بوده است. بررسی بروز پرموتر این ژن در بافت‌های مختلف، نتایج بیان بالای ژن S-Like RNase در بساک در مقایسه با بافت‌های دیگر که با استفاده از آنالیز q-PCR در مطالعات قبلی مشخص شده بود را تکمیل و تائید می‌کند.

کلمات کلیدی: بساک، رنگ‌آمیزی GUS، فعالیت پرموتر، S-Like RNase، برنج تراریخته.

دارند، در تنظیمات تنش، دفاع در برابر میکروارگانیسم‌ها، انتقال مجدد فسفات و در MacIntosh، ذخیره کردن نیتروژن دخالت دارند (MacIntosh, 2011). بر اساس مطالعات بیشتر روی بیان ژن در گیاهان، پیشنهاد شده است که دسته اول S-Like RNase‌ها در چرخه مجدد فسفات طی فرآیند پیری، مشارکت دارند (Kock *et al.*, 1998). مشخص شده است که ژن 1 RNase از آرابیدوپسیس، در طی دوره‌های کمبود فسفات، افزایش بیان داشته‌اند (Bariola *et al.*, 1994). در گیاهان دو لپه‌ای RNase S-Like ها نقش مهمی در انتقال مجدد فسفات طی فرآیند پیری داشته‌اند، همچنین آنها در فرآیندهای دفاع سلولی و زخم‌های فیزیکی القا شده‌اند (Zheng *et al.*, 2014). این ژن در واکنش به برخی از تنش‌ها و بیماری‌ها نیز گزارش شده است (Deshpande & Shankar, 2002; MacIntosh *et al.*, 2010). در دسته دوم RNase S-Like، بر خلاف دسته اول، خصوصیات اجدادی بیشتر حفظ شده‌اند و این گروه به صورت حفاظت شده در میان RNA یوکاریوت‌ها وجود دارند و با تبدیل به ریبوزومی برای نگهداری هموستازی سلولی و به عنوان ژن خانه‌دار (HouseKeeping) عمل می‌کنند (Luhtala & Parker, 2010; MacIntosh *et al.*, 2011). اثرات بالقوه یافت شده برای RNase‌ها در القای مقاومت به خشکی، می‌تواند ناشی از برهمکنش چندین خاصیت متمایز آنها باشد (MacIntosh *et al.*, 2010)، با این حال

از آنجایی که پاسخ به تنش‌های زیستی و غیرزیستی شامل عوامل بیوشیمیایی، فیزیولوژیکی، مورفولوژیکی و نموی می‌باشد، بروز تنش باعث تغییر در محل بروز ژن‌ها در بافت‌های گیاه می‌گردد (Caliskan, 2009). ژن E. coli (GUS) β -glucuronidase در یکی از مهمترین ژن‌های گزارشگر است که در تراریزش گیاهان، برای بررسی فعالیت پروموتر GUS (Jefferson, 1987) بکار برده می‌شود. ژن GUS بعد از بروز، آنزیم بتاگلوکلورونیداز را تولید می‌کند که این آنزیم وقتی در مقابل پیش‌ماده‌های بی‌رنگ یا غیر فلورسنت قرار گیرد، قادر است آن‌ها را به محصولات رنگی یا فلورسنت، تبدیل کند. رایج ترین پیش‌ماده GUS، برای رنگ‌آمیزی 5-bromo-4-chloro-3-indolyl glucuronide (X-Gluc) واکنش در این روش، به رنگ آبی شفاف، قابل مشاهده است (Blanco *et al.*, 1982).

خانواده RNase T₂ در گیاهان، به دو زیرخانواده S-Like RNase و S-RNase طبقه‌بندی می‌شوند. S-RNase‌ها به عنوان عامل ناسازگاری عمل می‌کنند، ولی S-Like RNase ها که همولوگ S-RNase هاستند، در ناسازگاری مشارکتی ندارند. S-Like RNase دسته تقسیم می‌شوند، دسته اول S-Like RNase‌ها فقط در گیاهان گزارش شده‌اند که به نظر می‌رسد که بعد از نسخه‌برداری ژنی، دارای تنوع می‌باشند. بسیاری از ژن‌هایی که در این دسته قرار

GUS، به بررسی فعالیت پرموتر این ژن در بافت‌های مختلف برنج تاریخت پرداخته شد.

مواد و روش‌ها

بذور برنج IR64 (واریته هندی) و Nipponbare (رقم ژاپنی) پس از ضد عفونی با محلول الكل ۶۰ درصد به مدت ۳۰ ثانیه و سپس سه بار شستشو با آب مقطر، روی محیط کشت MS قرار گرفتند تا کالوس تازه برای فرآیند تاریختی آماده شود.

توالی کانتیگ ژن S-Like RNase که در بررسی کتابخانه‌های EST در طی تنش خشکی افزایش بیان نشان داده بود (Ravash *et al.*, 2012). در پایگاه اطلاعاتی ژنوم برنج (Rice Genome Annotation Project (Genome Annotation Project آدرس (<http://rice.plantbiology.msu.edu/>) اینترنتی

بلاست شد. توالی کل ژن (LOC_Os09g36700.1)، توالی CDs و توالی Genome پروتئین مربوطه بدست آمد. در قسمت browser محل ژن بر روی کروموزوم برنج مشخص شد. به منظور دست‌یابی به توالی ناحیه پرموتری، حدود ۲ کیلو باز قبل از ناحیه ژنی انتخاب شد و توالی مربوطه از این ناحیه بدست آمد. بر اساس توالی بدست آمده برای پرموتر، آغازگر مناسب برای تکثیر آن با استفاده از نرم افزار Vector NTI advance 11.5.1 طراحی گردید. ناحیه پرموتری بوسیله PCR با آغازگر PCR اختصاصی (جدول ۱)، تکثیر شد. واکنش

تاکنون اطلاعات اندکی در مورد عملکرد ژن-S Like RNase در تک لپهای‌ها گزارش شده است. با جداسازی و توالی‌یابی ناحیه پرموتر ژن در گیاه، می‌توان کارکرد دقیق‌تر آن را مشخص کرد. به‌واسطه جداسازی ناحیه پرموتری و قرار دادن ناحیه ژن GUS بعد از آن و انتقال این سازه به گیاه مدل مانند برنج تاریخت، تشخیص فعالیت پرموتر این ژن در بافت‌های مختلف گیاه، بواسطه بررسی میزان رنگ تولید شده از بروز ژن GUS، ممکن می‌گردد. بسیاری از ژن‌های اختصاصی بساک و پرموتر آنها، به طور گسترده مورد مطالعه قرار گرفته‌اند و منجر به شناسایی عناصر سیس ضروری برای بیان اختصاصی شده‌اند (Kuriakose *et al.*, 2009). این پرموترهای اختصاصی بساک می‌توانند برای ایجاد نر عقیمی در گیاهان، به‌واسطه مهندسی ژنی و قرار دادن ژن سمی بعد از این پرموترها مورد استفاده قرار گیرند (Mariani *et al.*, 1990)، همچنین از این پرموترهای اختصاصی بساک می‌توان برای بازیابی باروری گیاه در نسل F1 در گیاهان هیبرید سود جست (Mariani *et al.*, 1992). ژن S-Like RNase در مطالعات بیان ژن تحت تنش خشکی به صورت متفاوتی در بافت‌های گندم بروز کرده است و در اثر تنش خشکی دارای افزایش بیان معنی‌دار در بساک ارقام مختلف بوده است (Ravash *et al.*, 2012)، در این تحقیق با استفاده از روش رنگ‌آمیزی

میکرولیتر و آب مقطر استریل ۷/۶ میکرولیتر) انجام شد. برنامه واکنش شامل: ۹۵°C به مدت ۱ دقیقه و سپس، طی ۳۵ چرخه با ۹۴°C و زمان ۳۰ ثانیه، ۵۲°C به طول ۳۰ ثانیه و ۶۸°C به مدت ۱ دقیقه، بود.

به وسیله دستگاه Rotor-Gene Q از شرکت کیاژن، با حجم نهایی ۱۲/۵ میکرولیتر (۱ DNA میکرولیتر، بافر ۱۰x ۱/۲۵ میکرولیتر، mgcl₂ ۰/۲۷ میکرولیتر، آغازگر رفت و برگشت هر کدام ۰/۲۵ میکرولیتر، dNTP ۰/۵ میکرولیتر، DNA پلیمراز ۰/۱۳ میکرولیتر، ۱/۲۵ DMSO_{50%}) پلیمراز.

جدول ۱- مشخصات جفت آغازگرهای استفاده شده در این پژوهش.

Table 1- Names and Sequences of primers have used in this study.

ناحیه تکثیر شوونده Amplification region	نام آغازگر Primer name	توالی آغازگر (۵'-۳') Primer sequence (۵'-۳')	طول قطعه تمای اتصال تکثیر شده (°C)	Annealing tempreature (°C)	طول قطعه دمای اتصال تکثیر شده (°C)	Size of products (bp)
S like RNase Promoter	Pro-F	GTGACATCTTGAGCTTGTGTTG	52			1466
	Pro-R	CTGTGGTCTGTGGAGAACTCA				
	Hph-F	GACGATTGCGTCGCATCGACC	62			831
hygromycin	Hph-R	AGCGTCTCCGACCTGCTGCA				

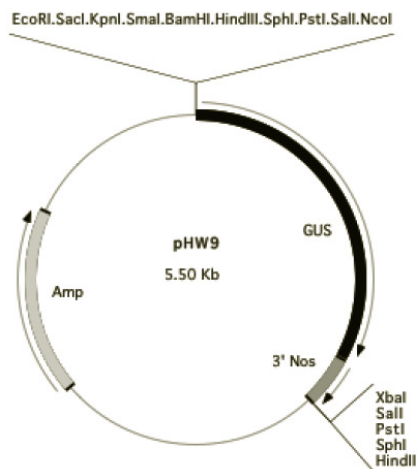
پروموتري به وسیله هضم مضاعف با آنزيم هاي محدود كننده EcoRI و NcoI برش داده شد و پس از الکتروفورز روی ژل آگاراز ۱/۵ درصد و جداسازی و خالص سازی قطعه از ژل، برای انتقال به ناقل PHW9 آماده شد (شکل ۱). اين ناقل حاوي ناحيه GUS در پايين دست ناحيه Dolferus *et al.*, (1994) طراحی و ساخته شده است. بدین منظور اين ناقل با آنزيم هاي برشی EcoRI و NcoI برش داده شد. سپس ترانسفورماسيون ناقل PHW9 به

ناحیه پروموتري تکثیر شده، با استفاده از کيت شرکت Promega (Cat No. A1360) در ناقل pGEM easy درج و در باكتري همسانه- سازی گردید. در اين مرحله ۹۶ کلون انتخاب شد و استخراج پلاسميد با استفاده از کيت شرکت Jetstar (Cat No. 210050) صورت گرفت. سپس همه پلاسميد های استخراج شده برای توالی يابي (به آزمایشگاه توالی يابي CSIRO) ارسال گردیدند تا صحت قطعه پروموتري تکثير شده تائيد گردد. در ادامه ناقل حاوي ناحيه

کالوس‌های برنج رقم IR6، درون مخلوط حاوی آگروباکتریوم، برای مدت ۱۰ تا ۳۰ دقیقه، غوطه ور شدند و با استفاده از صافی استریل و سپس فیلتر استریل، خشک شدند و طبق روش Lin & Zhang (2005) روی محیط کشت جامد در دمای ۲۵°C به مدت ۲ تا ۳ روز در تاریکی قرار گرفتند و پس از چند بار، بازکشت کالوس‌های سالم روی محیط کشت‌های مختلف، کالوس‌هایی که در مرحله قبل دارای شاخصاره شده بودند به محیط کشت MS ۱/۲ منتقل شدند و در نور کامل (۷۵ میکرومول بر مترمربع بر ثانیه) به مدت ۱۰ تا ۱۴ روز نگه داری شدند. کالوس‌هایی که هم دارای ریشه و هم شاخصاره شده بودند انتخاب شدند و به داخل گلدان‌های مقوایی کوچک انتقال داده شدند و در اطاق مه پاشی در فایتوترون (با دمای ۲۵°C) قرار گرفتند. در نهایت پس از ۷ تا ۱۰ روز که گیاهچه‌ها به خوبی در خاک مستقر شدند، به گلدان‌های معمولی انتقال داده شدند و در گلخانه نگهداری شدند، این روش توسط horsch *et al.*, (1985) به طور مفصل تری شرح داده شده است.

باکتری به روش شوک حرارتی انجام شد (Dolferus *et al.*, 1994) مجدداً استخراج پلاسمید و توالی‌یابی به منظور یافتن کلون‌هایی که پروموتر در جهت صحیح در آنها درج شده بود، صورت گرفت و کلون‌هایی که در آنها انتهای ناحیه پرموتری در ابتدای توالی کد کننده GUS قرار گرفته بود، انتخاب شدند.

به منظور درج قطعه حاوی پرموتر ژن-S pCAMBIA و ژن GUS در ناقل Like RNase pCAMBIA 1300، هردو ناقل pHW9 و ۱۳۰۰ به وسیله آنزیم‌های محدود کننده EcoRI و HindIII برش داده شدند. پس از انجام واکنش اتصال، ترانسفورماسیون آگروباکتریوم (سویه LBA4404) صورت گرفت. سلول‌های آگروباکتریوم درون محلول SOB (باکتوفریپتون ۲۰ گرم در لیتر، عصاره مخمر ۵ گرم در لیتر، ۰/۵۸۴ NaCl ۰/۱۸۶ KCl ۰/۰۸ گرم در لیتر به همراه آنتی‌بیوتیک‌های ریفارمیسین و کربنیسیلین به ترتیب با غلظت‌های ۵۰ و ۱۰۰ میلی گرم در میلی لیتر) با غلظت OD⁶⁰⁰ برابر با ۰/۸ و میزان ۰/۵ تا ۱ میکروگرم از پلاسمید حاوی سازه، به درون کوت‌های الکتروپوریشن انتقال داده شدند. سپس کوت‌ها در دستگاه الکتروپوریشن قرار گرفتند (طول پالس: ۴- میلی ثانیه، مقاومت: KOhm ۴) و در نهایت کلون‌های آگروباکتریوم حاوی سازه بر روی سطح پلیت در دمای ۲۸°C در شرایط تاریکی قرار داده شدند.



شکل ۱- ناقل pHW9 حاوی ناحیه GUS در پایین دست ناحیه درج قطعه موردنظر (Dolferus *et al.*, 1994).

Figure 1- pHW9 vector include GUS gene at downstream of insertion site (Dolferus *et al.*, 1994)

در مرحله رشد زایشی گیاهان تراریخت، نمونه برداری از بافت برگ، ریشه و خوشه برنج انجام گرفت. برای بررسی میزان فعالیت پرومومتر در بافت‌های مورد نظر، نمونه‌ها در میکروتیوب قرار داده شدند و حدود ۵۰۰ میکرولیتر محلول De Block & Debrouwer, (GUS رنگ آمیزی 1992) درون میکروتیوب‌ها ریخته شد به طوری که روی سطح نمونه‌ها را بپوشاند، سپس میکروتیوب‌ها در دستگاه تغییظ کننده با پمپ خلاء قرار داده شدند و پس از گذشت چند ثانیه از ایجاد خلاء، پمپ خلاء خاموش شد و این عمل ۳ بار تکرار گردید تا محلول رنگ آمیزی GUS به خوبی در بافت‌ها نفوذ کند. نمونه‌ها در انکوباتور با دمای ۳۷°C برای مدت یک شب، قرار داده شدند و سپس با آب مقطر چندین بار

برای تأیید حضور سازه حاوی پرموموتور در برنج تراریخت، استخراج DNA از بافت برگ گیاهچه‌ها با روش Dellaporta *et al.*, (1983) انجام گرفت و نمونه‌ها با آغازگر اختصاصی هایگرومایسین (جدول ۱) تکثیر شدند. واکنش PCR با حجم نهایی ۱۲/۵ میکرولیتر انجام شد. برنامه واکنش شامل: ۹۵°C به مدت ۱ دقیقه و سپس طی ۳۵ چرخه با ۹۴°C برای ۳۰ ثانیه، ۶۲°C برای ۳۰ ثانیه و ۶۸°C به مدت ۱ دقیقه، بود. گیاهچه‌های تراریخت به گلدان‌های حاوی شن و ورمی‌کولایت که به نسبت مساوی مخلوط شده بودند، انتقال یافتند و تا مرحله بذر دهی رشد داده شدند و نمونه گیری از بافت ریشه، برگ و بساک در مرحله میکروسپور جوان انجام شد.

(LOC_Os09g36700.1). سپس پرموتر در ناقل pHW9 درج شد و سپس توالی یابی و مورد بررسی قرار گرفت. پس از اطمینان از صحت قطعه تکثیری، پرموتر به ناقل pCAMBIA 1300 وارد شد، و در نهایت ترانسفورماسیون آگروباکتریوم سویه LBA 4404 صورت گرفت. سازه حاوی پرموتر و ناحیه ژن GUS در ناحیه جایگاه برشی چندگانه (MCS) به ناقل pCAMBIA 1300 وارد شد. این ناقل قابلیت ترانسفورماسیون به داخل سلول گیاهی را دارد و امکان بررسی رفتار پرموتر را در گیاهان تاریخت شده، مهیا می‌کند (شکل ۲).

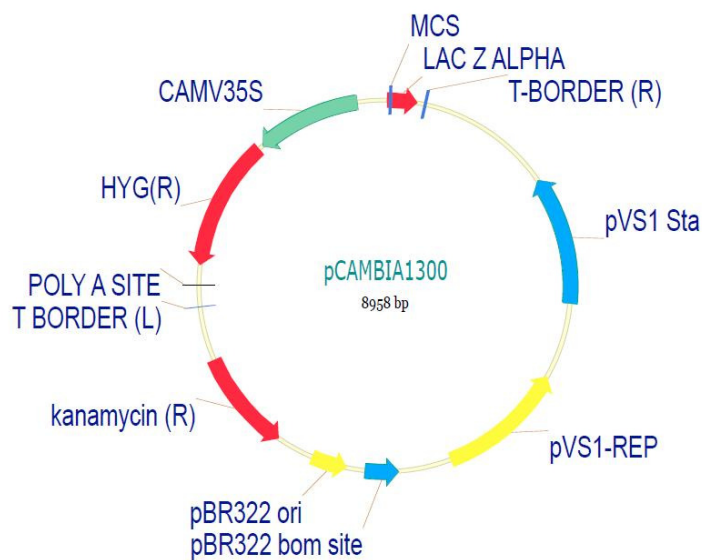
برای یافتن ناقل‌هایی که سازه به طور کامل وارد آنها شده‌بود، نمونه‌ی ناقل pCAMBIA1300 با آنزیم‌های *EcoRI* و *HindIII* که جایگاه برشی آنها در دو سوی محل قرار گیری سازه حاوی پرموتر قرار داشت، مورد هضم مضاعف قرار گرفتند. نمونه‌ها روی ژل برده شدند و نمونه‌هایی که دارای باند ۱۵۰۰ جفت بازی بودند، انتخاب شدند و برای توالی یابی ارسال شدند.

شستشو شدند. در نهایت در محلول ۷۰٪ اتانول و سپس در محلول ۱۰۰٪ اتانول نگهداری شدند. عکس‌برداری از نمونه‌ها به‌وسیله میکروسکوپ نوری با بزرگنمایی‌های متفاوت صورت گرفت.

نتایج و بحث

نتایج مطالعات گذشته نشان داده است که بیان ژن RNase S-Like در بساک رقم‌ها و گونه‌های مختلف گندم و خویشاوندان وحشی آن، بسیار بالاتر از بقیه بافت‌ها بوده است (Ravash *et al.*, 2012). بر همین اساس در این مطالعه پرموتر این ژن برای برآوردن فعالیت آن در بافت‌های مختلف، شناسایی و جداسازی شد. ناحیه پرموتری در بالادست توالی کانتیگ S-Like RNase بر روی کروموزوم شماره ۹ برنج، شناسایی شد (AP014965.1).

قطعه تکثیری پرموتر در ناقل pGEM-T easy درج گردید و همسانه‌ها برای تولی یابی ارسال شدند. این توالی در پایگاه اطلاعاتی برنج بلاست شد و با توالی ژن RNase S like کروموزوم شماره ۹ برنج جفت گردید.



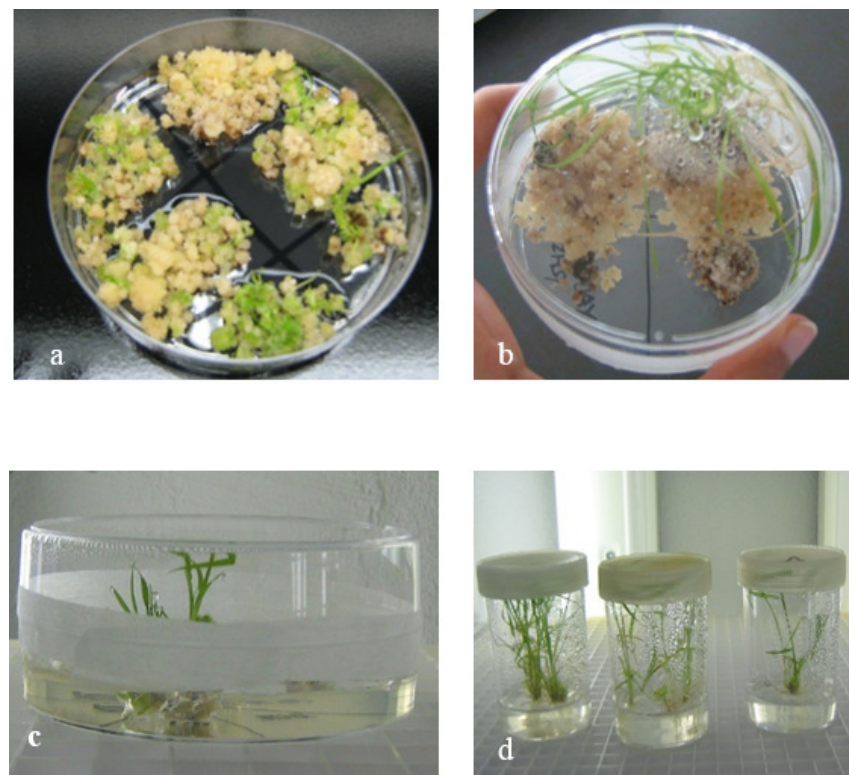
شکل ۲- نقشه ناقل **pCAMBIA1300**، سازه در ناحیه جایگاه برشی چندگانه (MCS) به ناقل وارد شد (<http://www.cambia.org>).

Figure 2- pCAMBIA1300 map, construct was inserted in MCS site (<http://www.cambia.org>).

همچنین نوار میکروپور برای درزگیری درب پلیت‌ها استفاده شد تا امکان عبور هوا فراهم باشد. استفاده از نوارهای میکروپور نسبت به پارافیلم، کارایی تولید گیاه تراریخت را افزایش می‌دهد. شکل ۳ d، رشد گیاهچه‌ها در محیط کشت MS ۱/۲، را نشان می‌دهد که آماده برای انتقال به گلدانهای مقوایی حاوی خاکبرگ و خاک ماسه‌ای و قرار گرفتن در اتاقک مه‌پاشی می‌باشد. در نهایت، گیاهان کوچک تراریخت به گلخانه برجج با شرایط دمایی ۳۳°C و رطوبت بالای ۷۰ درصد، انتقال داده شده‌اند.

هم کشتی باکتری با کالوس رقم هندی IR6 انجام شد و روی محیط کشت، گیاهچه‌ها تولید برگ و ریشه نمودند و در نهایت گیاه تراریخت ایجاد شد.

شکل ۳ مراحل مختلف رشد کالوس و ایجاد گیاه تراریخت را نشان می‌دهد. در شکل ۳ a، تغییر رنگ و سبزشدن کالوس‌ها و نمایان شدن برگ در برخی از آنها، در شرایط نیمه تاریک نشان داده شده‌است. به منظور ایجاد گیاهچه از کالوس‌های سبز و یا دارای برگ کوچک، کالوس‌ها به محیط کشت بعدی و شرایط نوری کامل انتقال داده شدند (شکل ۳ b و c). در این مرحله از پلیت‌های بلندتر استفاده شد تا فضای رشد کافی برای رشد برگ‌ها وجود داشته باشد،



شکل ۳- مراحل مختلف کشت بافت کالوس برنج تراریخت: a- سبز شدن کالوس‌ها b- ایجاد گیاهچه از کالوس‌ها، c- انتقال گیاهچه به پلیت با ارتفاع بیشتر همراه با نوارهای درزبندی انتقال دهنده هو، d- گیاهان تراریخت درون محیط کشت $\frac{1}{2}$ MS

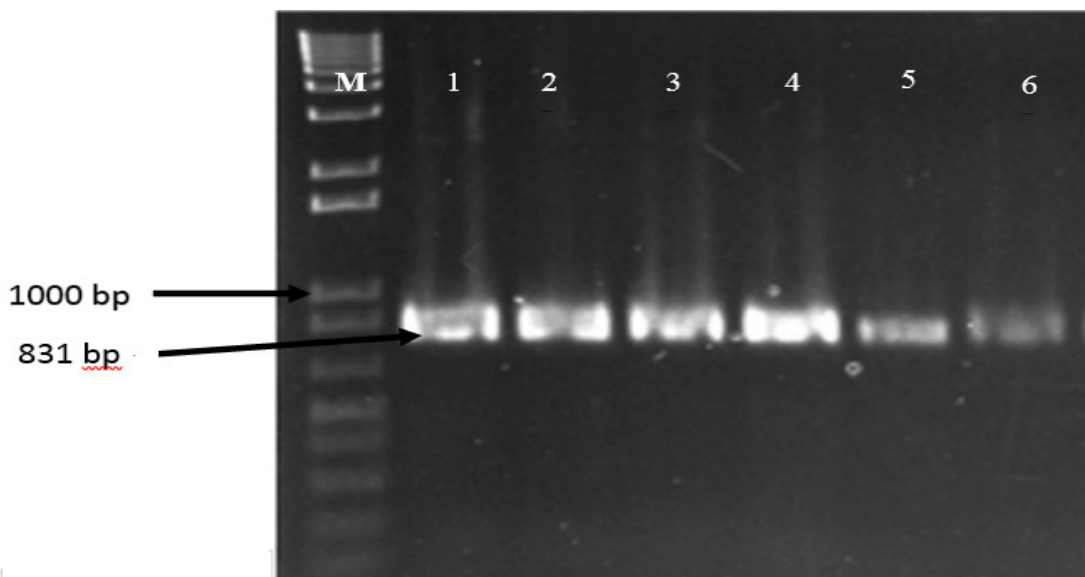
Figure 3- Transformed rice tissue culture stages: a- callus getting green, b- produce seedling from callus, c- transform callus to plate with micropore tape, d- transformed plants at $\frac{1}{2}$ MS media.

باند ۸۳۱ جفت بازی بودند، گیاه تراریخت مثبت ارزیابی شدند و برای ادامه مراحل بررسی بیان ناحیه پروموتربی، در نظر گرفته شدند عکس ژل‌های تایید کننده حضور ژن در نمونه‌های مختلف برنج تراریخت در شرایط یکسان رنگ آمیزی شدند (شکل ۴). نتایج نشان داد که

برای تایید گیاهچه‌های تراریخت حاوی قطعه T-DNA، واکنش PCR با استفاده از آغازگرهای اختصاصی ژن هایگرومایسین صورت گرفت. ناقل pCAMBIA1300 دارای ناحیه ژن هایگرومایسین در قسمتی از توالی خود هست (جدول ۱). نمونه‌هایی که بر روی ژل، دارای یک

گیاهچه‌های تراریخت بود.

هیچیک از کالوس‌های رقم ژاپنی تراریخت نشدند، ولی رقم هندی، رقم مناسبی برای ایجاد



شکل ۴- الکتروفورز محصول PCR روی ژل آگارز به منظور تشخیص گیاهچه‌های برنج تراریخت با استفاده از آغازگر هایگرومایسین. چاهک (M): نشانگر 100 bp plus؛ چاهک (۱-۶): محصولات PCR نمونه‌های مختلف برگی.

Figure 4- Agarose electrophoresis gel of PCR products for detecting transformed rice seedling using hygromycin primer. Lane (M): 100 bp plus size marker; lane (1-6): PCR products from various leaf samples

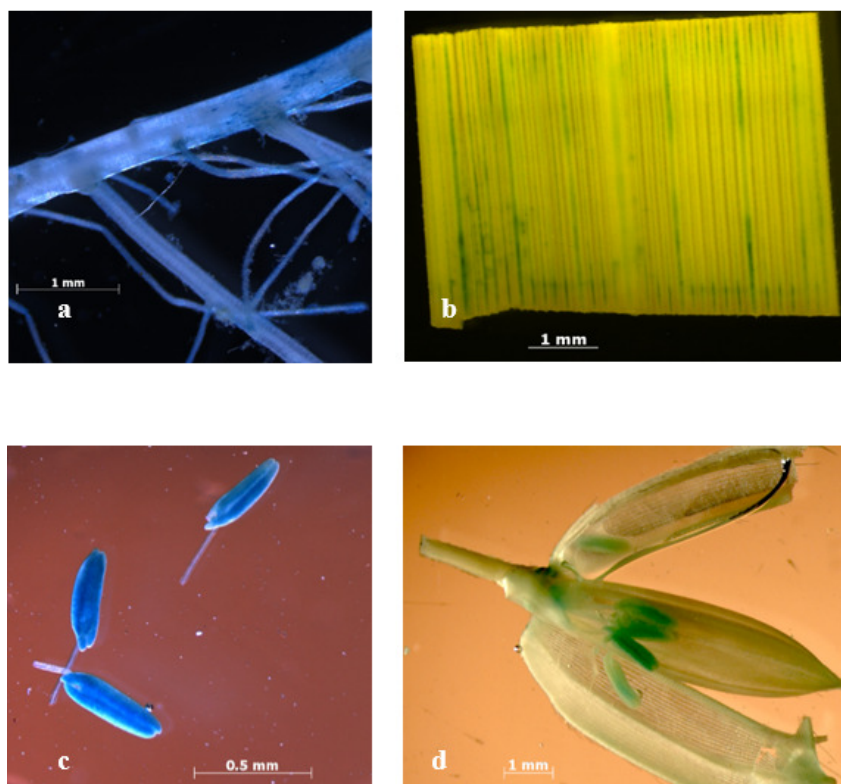
و در ریشه نیز ناچیز بوده است. نتایج در تعداد زیادی نمونه از بافت‌های مختلف و در گیاهچه‌های تراریخت متعدد تکرار شد و در تمامی موارد شدت رنگ آبی در بساک بسیار زیاد بود که نشان‌دهنده فعالیت بالای پروموترا قبل از ناحیه GUS در این بافت می‌باشد، در صورتی که فعالیت پروموترا S-Like RNase در برگ زیاد نبوده است، در نتیجه میزان رنگ آبی مشاهده شده پس از رنگ‌آمیزی برگ، مختصر بوده است. در ریشه

آزمون تشخیص GUS در واقع بسیار حساس و اختصاصی عمل کرده و دارای قابلیت‌های بررسی کمی (اندازه‌گیری میزان بیان ژن GUS) و نیز کیفی (بررسی الگوی بیان ژن GUS در بافت‌ها و اندام‌های مختلف) می‌باشد. بررسی میزان بیان ژن GUS که در واقع میزان فعالیت پروموترا ژن GUS را مشخص می‌کند، نشان داد که این ژن دارای بیان بسیار بالایی در بساک می‌باشد و بیان آن در برگ کمتر

اختصاصی در بافت گلبرگ و ساقه گیاه میخک نشان داده است (Kim *et al.*, 2004). همچنین پرموتر ژن YY2 دارای فعالیت اختصاصی در بساک برنج و آرابیدوپسیس می‌باشد که یک ژن کلیدی در چرخه تولید فلاوانوئید می‌باشد (Kuriakose *et al.*, 2009).

RNase RNase T2ها که زیر فامیل خانواده هستند، در ژنوم تمام گیاهانی که تا کنون مطالعه شده‌اند، یافت می‌شوند، اما تا کنون اطلاعات دقیقی در مورد نحوه عملکرد پرموتر آنها در بافت‌های مختلف در دست نبوده است. اگر چه مطالعات بروز ژن مشخص کرده بود که این ژن در فرایند تنفس در برنج پاسخ می‌دهد ولی مطالعه‌ای روی پرموتر این ژن صورت نگرفته بود (Zheng *et al.*, 2014; Salekdeh *et al.*, 2002) در این تحقیق به بررسی محل بروز پرموتر این ژن در بافت‌های مختلف برنج تاریخت پرداخته شده است.

فعالیت بسیار ناچیزی از این پرموتر دیده می‌شود که در نتیجه آن، ریشه‌ها کاملاً سفید رنگ با رگ‌های مختصر آبی پراکنده، مورد مشاهده و ارزیابی قرار گرفتند (شکل ۵). از آنجایی که بررسی میزان بیان ژن S-Like RNase بود که بیان این ژن در بساک رقم‌ها و گونه‌های مختلف گندم و خویشاوندان وحشی آن، بسیار بالاتر از بقیه بافت‌ها بوده است (Ravash *et al.*, 2012)، و در این مطالعه نیز بیشترین فعالیت پرموتر ژن S-Like RNase در فعل کردن ژن GUS در بافت بساک بوده است، می‌توان نتیجه گرفت که یکی از دلایل اساسی تفاوت در میزان بیان این ژن در بافت‌های مختلف به دلیل تفاوت در فعالیت پرموتر این ژن در بافت‌های مختلف بوده است (شکل ۵). محققان دیگری نیز فعالیت متفاوت ژن‌ها و پرموترها را در بافت‌های مختلف را گزارش نموده‌اند، به عنوان مثال ژن CSDC9 که به ژن GUS ملحق شده بود، بیان



شکل ۵- بررسی میزان فعالیت اختصاصی پرموتر ژن S-Like RNase در بافت‌های مختلف برنج تراریخت با استفاده از آزمون تشخیص GUS -a- ریشه، b- برگ، c- بساک، d- گلچه.

Figure 5- GUS Reporter gene expression assay for Analysis of S-Like RNase promoter tissue-specific expression patterns in transformed plants tissues: a- root, b- leaf, c- anther, d- floret.

توجه به نتایج قبلی، نقش بافت اختصاصی پرموتر این ژن، تخمین زده می‌شد که در این تحقیق با اثبات فعالیت بالای این پرموتر در بساک برنج، علت بروز بالای ژن S-like RNase در این بافت و بیان کم این ژن در بافت‌های دیگر، مشخص شد. با توجه به نتایج این آزمایش، وجود بیان اختصاصی پرموتر ژن S-Like RNase در بساک برنج برای اولین بار گزارش شد و پرموتر از برنج جداسازی و توالی‌یابی شد و

بروز متفاوت ژن S-Like RNase در بافت‌های مختلف گندم و خویشاوندان وحشی آن، در مطالعات گذشته انجام شده بود که بر اساس آن این ژن در بین بافت‌های مختلف گندم، بیشترین بیان را در بساک دارا بوده است و تحت تنش خشکی بیان این ژن افزایش یافته است، همچنین در بساک خویشاوند وحشی گندم (*Aegilops tauschii*), افزایش بیان تحت تنش خشکی، بسیار بالا بوده است (Ravash *et al.*, 2012). با

GUS در بافت‌های مختلف نشان داده است فعالیت پرومومتر در بافت‌های مختلف و تحت تاثیر شرایط مختلف تنفس متفاوت بوده است (Hashemi *et al.*, 2012). نتایج این تحقیق در شناسایی پرومومتر با بیان اختصاصی در بافت مشخص، می‌تواند در مطالعات بررسی اثر یک ژن خاص در یک بافت بخصوص بسیار مفید و کاربردی باشد. پرومومتر بافت اختصاصی می‌تواند برای بررسی تشدید بیان یک ژن در فعالیت‌های متابولیکی و ساختاری بافت، طی شرایط تنفس مورد استفاده قرار گیرد. در مراحل بعدی تحقیق پیشنهاد می‌شود، روی لاین‌های جهش یافته فاقد این ژن و مورفولوژی این گیاهان جهش یافته، تحت شرایط تنفس خشکی و نرمال مقایسه انجام شود تا نقش این ژن و پرومومتر اختصاصی آن در شرایط تنفس، روشن‌تر گردد.

سپاسگزاری

با سپاس از همکاری موسسه CSIRO در استرالیا که منابع مالی این پژوهش را تامین نمودند و موافقت نمودند که انجام این تحقیق در آزمایشگاه بخش plant industry آزمایشگاه فایتونرون این موسسه صورت گیرد.

محل دقیق بروز آن در بساک، به وسیله تکنیک تشخیص GUS مورد بررسی قرار گرفت. در این تحقیق مراحل هم کشتی باکتری با کالوس دو رقم برنج (IR64 و Nipponbare) پی‌گیری شد. کالوس‌های ایجاد شده از هر دو رقم هندی و ژاپنی تا مرحله القای گیاهچه پیش رفته، اما رقم ژاپنی پاسخ مناسبی نداشت و فقط کالوس‌های رقم هندی، تولید برگ و ریشه نمودند و در نهایت گیاه تراریخت به طور موفق، ایجاد شد. نکته حائز اهمیت در این کار این بود که با توجه به برهمکنش عوامل مختلف در تراریزش و باززایی گیاهان تراریخت، کار با ارقام ژاپنی و هندی برنج دنبال گردید و به این ترتیب علی‌رغم عدم ایجاد ارقام ژاپنی تراریخت، روند انتقال پرومومتر به گیاه و باززایی برنج هندی، کاملاً موفقیت آمیز و با کارآیی بالا، ارزیابی شد. در تحقیقات گذشته ثابت شده است که تراریزش با اگروباکتریوم به نوع ژنوتیپ‌ها و واریته‌های مورد آزمایش بستگی دارد و فقط تعداد محدودی از واریته‌ها تراریخته می‌شوند، که اساساً به علت تفاوت‌های زیاد در توانایی تولید کالوس و باززایی در میان واریته‌های مختلف پس از آلوده-سازی با اگروباکتریوم اتفاق می‌افتد (Machii *et al.*, 1998). مطالعات دیگری نیز بر روی بروز ژن

منابع

Bariola PA, Howard CJ, Taylor CB (1994). The *Arabidopsis* ribonuclease gene *RNS1* is tightly controlled in response to phosphate limitation. Plant Journal 6: 673–685.

- Blanco C, Ritzenthaler P, Mata-Gilsinger M (1982). Cloning and endonuclease restriction analysis of uidA and uidR genes in *Escherichia coli* K-12: determination of transcription direction for the uidA gene. *Journal of Bacteriol* 149: 587–594.
- Caliskan M (2009). Salt stress causes a shift in the localization pattern of germin gene expression. *Genetic Molecular Research* 8: 1250-1256.
- De Block M, Debrouwer D (1992). In-situ enzyme histochemistry on plastic-embedded plant material. The development of an artefact-free β -glucuronidase assay. *The Plant Journal* 2: 261-266.
- Deshpande RA, Shankar V (2002). Ribonucleases from T2 family. *Critical Reviews in Microbiology* 28: 79–122.
- Dolferus R, Jacobs M, Peacock WJ, Dennis ES (1994). Differential Interactions of Promoter Elements in Stress Responses of the *Arabidopsis Adh* Gene. *Plant Physiology* 105(4):1075-1087.
- Hashemi F, Shobbar ZS, Majidi MM (2012). Functional Analysis of *OsVP1* Using Rice Mutant Lines. *Journal of agricultural Biotechnology* 4(2): 89-102. (In Farsi)
- Horsch R, Fry J, Hoffman N, Eichholtz D, Rogers S, Fraley R (1985). A simple and general method for transferring genes into plants. *Science* 227: 1229–1231.
- Jefferson R (1987). Assaying chimeric genes in plants: The GUS gene fusion system. *Plant Molecular Biology Reporter* 5: 387-405.
- Kim YJ, Sun HL, Park KY (2004). A leader intron and 115-bp promoter region necessary for expression of the carnation S-adenosylmethionine decarboxylase gene in the pollen of transgenic tobacco. *FEBS letters* 578(3): 229-235.
- Kock M, Theierl K, Stenzel I (1998). Extracellular administration of phosphate-sequestering metabolites induces ribonucleases in cultured tomato cells. *Planta* 204: 404–407.
- Kuriakose B, Arun V, Gnanamanickam SS, Thomas G (2009). Tissue-specific expression in transgenic rice and *Arabidopsis thaliana* plants of GUS gene driven by the 50 regulatory sequences of an anther specific rice gene YY2. *Plant Science* 177: 390–397.
- Lin YJ, and Qifa Zhang (2005). Optimising the tissue culture conditions for high efficiency transformation of indica rice. *Plant cell reports* 23(8): 540-547.
- Luhtala N, Parker R (2010). T2 family ribonucleases: ancient enzymes with diverse roles, *Trends in Biochemical Sciences* 35: 253–259.
- Machii H, Mi zuno H, Hi rabayashi T, Li H, Hagio T (1998). Screening wheat genotypes for high callus induction and regeneration capability from anther and immature embryo cultures. *Plant Cell, Tissue and Organ Culture* 53: 67-74.
- MacIntosh G, Hillwig M, Meyer A, Flagel L (2010). RNase T2 genes from rice and the evolution of secretory ribonucleases in plants. *Molecular Genetics and Genomics* 283: 381–396.
- MacIntosh GC (2011). RNase T2 family: enzymatic properties, functional diversity, and evolution of ancient ribonucleases. in: Nicholson AW (Ed.), *Ribonucleases*, Springer, Berlin, Heidelberg 89–114.
- Mariani C, DeBeuckeleer M, Truettner J, Leemans J, Goldberg RB (1990). Induction of male sterility in plants by a chimaeric ribonuclease gene. *Nature* 347: 737–741.
- Mariani C, Gossele V, DeBeuckeleer M, De Block M, Goldberg RB, DeGreef W, Leemans J (1992). A chimaeric ribonuclease inhibitor gene restores fertility to male sterile plants. *Nature* 357: 384–387.
- Ravash R, Shiran B, Ebrahimie E, Houshmand SA (2012). Study of S-Like RNase expression in wheat and its wild relatives under drought stress. *Journal of agricultural Biotechnology* 5(1): 27-38. (In Farsi)

Salekdeh GH, Siopongco J, Wade LJ (2002). Proteomic analysis of rice leaves during drought stress and recovery. *Proteomics* 2: 1131-1145.

Zheng J, Wang Y, He Y, Zhou J, Li Y, Liu Q, Xie X (2014). Overexpression of an S-like ribonuclease gene, *OsRNS4*, confers enhanced tolerance to high salinity and hyposensitivity to phytochrome-mediated light signals in rice. *Plant Science* 214: 99-105.

Promoter Analysis of S-Like RNase gene in Transgenic Rice

Ravash R.^{1*}, Shiran B.², Ebrahimie E.³, Houshmand S.⁴, Dolferus R.⁵

¹Assistant Professor, Plant Breeding and Biotechnology Department, Faculty of Agriculture, Shahrekord University, Shahrekord, Iran.

^{2,4}Professor, Plant Breeding and Biotechnology Department, Faculty of Agriculture, Shahrekord University, Shahrekord, Iran.

³Professor, Plant Breeding and Biotechnology Department, Faculty of Agriculture, Shiraz University, Shiraz, Iran.

⁵ Professor, CSIRO Plant Industry, Canberra-Australia.

Abstract

RNases participate in vital cellular functions such as DNA replication, transcription, splicing, and control of translation. S-like ribonucleases (S-like RNases) are homologous to S-ribonucleases (S-RNases), but are not involved in self-incompatibility in plants. In dicotyledonous plants, S-like RNases play an important role in phosphate recycling during senescence and are induced by inorganic phosphate-starvation and in response to defense and mechanical wounding. Potensial effects of RNases in drought response might refer to inraction of several different functions. In this study, the promoter of S-Like RNase gene was inserted upstream of β -glucuronidase gene (GUS), *Agrobacterium tumefaciens*, transformed by electroporation with these constructs were used for co-culture for plant transformation. Histochemical staining method on root, Leaf and anther tissue of rice were done for measering promoter activity. Based on these results, we report tissue speciefic activity of S-Like RNase promoter in the anther of rice. Results indicate the high activity of S-Like RNase promoter in the anther tissue of rice however Expression level in the leaf was low and in the root was negligible. These results is confirmed by previeos studies using q-PCR that indicated high expression of S-Like RNase gene at the anther in comparison with other tissues.

Keywords: Anther, GUS staining, Promoter activity, S-Like RNase, Transformed Rice.

* Corresponding Author: Ravash R.

Tel: 03833224401

Email: R.Ravash@gmail.com